

# ارزیابی ویژگیهای مولکولی و زیستی باکتری *Pseudomonas fluorescens UTPF5* روی گوجه‌فرنگی

نگار باقری<sup>۱</sup>، مسعود احمدزاده<sup>۱\*</sup>، حمیده افشارمنش<sup>۲</sup> و زهرا صابر باغان<sup>۱</sup>

<sup>۱</sup> تهران، دانشگاه تهران، گروه گیاه‌پزشکی

<sup>۲</sup> تهران، سازمان انرژی اتمی ایران، پژوهشکده تحقیقات کشاورزی، پزشکی و صنعتی

تاریخ دریافت: ۹۴/۱۲/۷ تاریخ پذیرش: ۹۴/۳/۲

## چکیده

در این تحقیق، خصوصیات زیستی و مولکولی سویه *Pseudomonas fluorescens UTPF5* به عنوان یک باکتری مهم بیوکنترل در ایران، مورد ارزیابی قرار گرفته است. تأثیر نانوذرات نقره، تأثیر باکتری در لاکاز قارچی و همچنین جنبه‌های مولکولی باکتری از جمله ردهای ژنهای *phlA* و *phlD* و *hcNAB* بررسی شد. مقدار بازدارندگی این سویه از بیماری زایی نماتد باکتری *Meloidogyne javanica* تعیین شد. عصاره، سوسپانسیون و ترکیبات فرآر باکتری بترتیب باعث کاهش ۰/۳۵، ۰/۲۵ و ۰/۸۵ درصدی در تقریخ تخم شده و افزایش مرگ و میر لارو در اثر عصاره و ترکیبات فرآر باکتری بترتیب بمیزان ۰/۵۳، ۰/۳۴ و ۰/۸۵ درصد تعیین شد درحالی که سوسپانسیون باکتری در مرگ و میر لارو تأثیری ندارد. افزایش غلظت نانوذرات نقره از ۰/۲۵ تا ۰/۰۲ میکرولیتر بر لیتر سبب افزایش تشکیل بیوفیلم و از این غلظت به بعد روند کاهش در تشکیل بیوفیلم می‌شود. سویه *UTPF5* واحد ژنهای *hcNAB* و *phlA* است. افروختن عصاره باکتری به محیط کشت جدایه قارچی، بر تولید آنزیم لاکاز توسط آنها تأثیر داشت و میزان تولید آنزیم در سه غلظت منتخب عصاره باکتری تفاوت معنی‌داری در سطح احتمال ۰/۰۱ درصد نشان داد. در بررسیهای گلخانه توانایی بیوکنترل بیمارگرهای هدف و افزایش رشد گیاهان به اثبات رسید. بطور کلی این سویه *P. fluorescens UTPF5* اثرات بیوکنترلی بسیار خوبی نشان داد و ویژگیهای مولکولی آن نیز از طریق ردهای ژنهای مهم مورد بررسی قرار گرفت.

**واژه‌های کلیدی:** لاکاز، نانوذرات نقره، نماتد گره ریشه

\* نویسنده مسئول، تلفن: ۰۹۱۲۲۶۰۹۱۰۰، پست الکترونیکی: ahmadz@ut.ac.ir

## مقدمه

موادی از جمله آهن و یا تولید آنتی‌بیوتیکها یا آنزیمهای لیزکننده قادر به کنترل همزمان بیماریهای گیاهی هستند.<sup>(۱۳)</sup>

ضرورت انجام این پژوهش که شامل دستیابی به باکتریهای مؤثر که قابلیت تجاری سازی و کاربرد در سطح مزارع و باغات را داشته باشند، از اهمیت خاصی برخوردار است. معرفی این جدایه‌ها برای توسعه کنترل بیولوژیک در کشور بسیار ضروری است.

در سه دهه اخیر تعداد زیادی از باکتریهای پروبیوتیک، شناسایی و تعداد کمی از آنها به صورت تجاری تولید شده‌اند که باعث جلب توجه در استفاده از آنها به عنوان روش جایگزین مناسبی برای فرآورده‌های شیمیایی شده‌است.<sup>(۹)</sup> کاربرد وسیع ریزوباکتریهای تحریک کننده رشد گیاهی در محصولات مختلف علاوه بر کاهش مصرف کودهای شیمیایی و آفت‌کشها سبب افزایش رشد گیاه و به تبع آن افزایش محصول می‌شود. این عوامل با رقابت برای

ژنهای گزارشگر ابزاری مناسب را برای ردیابی بیان ژن در محیط‌های طبیعی فراهم می‌آورند. سیستم ژن گزارشگر، شامل ژنی است که قادر پرموتر طبیعی خود بوده و تنها هنگامی می‌تواند نسخه‌برداری شود که به پایین دست یک پرموتور خارجی الحق گردد. سیستم گزارشگر باید حساس بوده، تعیین کمیت آن براحتی امکان‌پذیر باشد و به تغییر در فعالیت نسخه‌برداری پاسخ دهد (۱۴). ژنهای گزارشگر متعددی در مطالعات اخیر اکولوژی میکروبی مورد استفاده قرار گرفته‌اند که می‌توانند براساس فنوتیپهای phla-*lacZ* برای بررسی تأثیر عوامل محیطی مختلف بر تولید (2,4-diacetylphloroglucinol) DAPG در شرایط ریزوسفر با موفقیت مورد استفاده قرار گرفته‌است (۱۵، ۱۶ و ۲۰). با استفاده از تکنیک ژنهای گزارشگر، محققین بیان ژنهای بیوسترکننده آنتی‌بیوتیکهایی چون PCA، DAPG و Plt را در شرایط *in situ* به اثبات رسانیده‌اند (۱۹ و ۲۰).

هدف از این پژوهش معرفی برخی خصوصیات مهم سویه *P. fluorescens* UTPF5 می‌باشد. دانستن این خصوصیات در استفاده بهینه در شرایط مختلف زراعی و نیز در فرآیند تجاری‌سازی نقش مهمی دارد.

### مواد و روشها

تهیه باکتری *R. solani* *P. fluorescens* UTPF5 قارچ و *M. javanica* از *P. fluorescens* UTPF5 نمادن : باکتری *M. javanica* از *Rhizoctonia solani* از کلکسیون باکتریهای آنتاگونیست، قارچ *P. fluorescens* UTPF5 از کلکسیون قارچ‌شناسی و نمادن به طور خالص از گروه گیاهپزشکی دانشگاه تهران دریافت شد.

سنجهش MIC (حداقل غلظت بازدارندگی) نانوذرات نقره روی *P. fluorescens* UTPF5 : برای این منظور آزمون بروش میکروتیترپلیت انجام شد. غلظتها مورد استفاده نانوذرات شامل ۰،۱،۲،۴ و ۸ میکرولیتر بر لیتر تهیه شدند، که در تمامی مراحل رقیق‌سازی محلول

عموماً قارچها در تقابل با آنتاگونیست‌ها یا میکروارگانیسم‌های رقابت‌کننده دیگر، آنزیم اکسیدکننده فنول لاکاز را در منطقه برخورد، تولید می‌نمایند که بنظر می‌رسد در محافظت از آنها در برابر ترکیبات آنتی‌بیوتیک و تنشهای اکسیداتیو سلولی نقش داشته باشند (۶). القای لاکاز در برخی قارچها به عنوان روشی برای مقاومت به عوامل آنتاگونیست است (۲۵ و ۳۴). چهار ژن لاکاز در قارچ *Rhizoctonia solani* شناسایی شده است (۳۲).

ترکیبات فرار باکتریها مثل الکلها و آلدهیدها و ترکیبات آروماتیک و سولفیدها و کتونها باعث کاهش فعالیت لاکاز در *Magnaporthe oryzae* و *Gaeumannomyces graminis* می‌شوند. لاکازها در مسیر بیوسنتر ملانین نقش دارند و کاهش فعالیت آن سبب افزایش پیش‌ماهه سنتر ملانین که خاصیت آنتی‌بیوتیکی دارد و در نتیجه باعث تجمع آن می‌شود. بنابراین ترکیبات فراری که توسط آنتاگونیست‌ها تولید می‌شوند، می‌توانند مکانیسمهای دفاع ساختاری و بیوشیمیابی را در قارچ القاء کنند. باکتری *Pseudomonas fluorescens* آنزیم لاکاز را در القاء می‌کند که در پلیمریزاسیون ملانین در *R. solani* دخالت دارد، القای لاکاز پاسخی به جریان ریزش کلسیم بوده که یک علامت سلولی هنگام تنش کشند است (۶). رادیکالهای آزاد ناشی از فعالیت لاکاز ترکیبات آنتی‌بیوتیک را غیررسمی می‌کنند (۴).

نمادن گره ریشه گوجه‌فرنگی از *Meloidogyne javanica* از عوامل خاکزد است که مکانیسمهای مؤثر در کنترل بیولوژیک این نمادن در توسعه گال ریشه، تفریخ تخم و زنده‌مانی به طور مستقیم با تولید متابولیتهاي سمی یا به طور غیرمستقیم با افزایش مقاومت سیستمیک در گیاه اثر می‌گذارند. افزایش مقاومت سیستمیک نیز باعث کنترل *Meloidogyne* روی گیاه گوجه‌فرنگی تیمار شده با *Pseudomonas* می‌شود (۱).

هر یک از چاهکهای میکروپلیت ۸۰ میکرولیتر محیط کشت TSB استریل ریخته شد و سپس ۴۰ میکرولیتر از غلظتها مختلف محلول نانوذرات نقره به چاهکهای مورد نظر اضافه و در مرحله آخر نیز ۸۰ میکرولیتر از ۲۰۰ سوسپانسیون باکتری به چاهکها برای رسیدن به حجم میکرولیتر اضافه شدند. سپس میکرولیت بمدت ۲۴ ساعت در دمای ۲۸ درجه سانتی گراد نگهداری شد و در نهایت، جذب هر چاهک با طول موج ۴۹۲ نانومتر و با استفاده از دستگاه الیزا ریدر مقدار تشکیل بیوفیلم اندازه‌گیری شد (۲۷).

**بررسی اثر غلظتها مختلف نانوذرات نقره بر تولید آنزیم لیپاز در جدایه باکتریابی *P. fluorescens UTPF5*** : محیط کشت مناسب برای بررسی لیپاز شامل ۱۰ گرم پیتون، ۵ گرم کلرور سدیم، ۰/۱ گرم کلرور کلسیم، ۱۵ گرم آگار، ۱۰ میلی‌لیتر توئین ۲۰ در یک لیتر آب مقطر است. محیط را داخل هشت ظرف ارلن تقسیم و غلظتها ۰/۲۵، ۰/۰۵، ۰/۱، ۰/۲، ۰/۴، ۰/۸ و ۰/۱۰ میکرولیتر بر لیتر به محیط کشت اضافه و در پتربهای استریل تقسیم شدند. کشت ۲۴ ساعته باکتری روی این محیطها کشت و بمدت ۲۴ ساعت در ۲۸ درجه سانتی گراد نگهداری شدند. پس از گذشت ۲۴ ساعت با اندازه‌گیری قطر رسواب اطراف کلی باکتری که نشان‌دهنده تجزیه توئین و تولید آنزیم لیپاز بود و با استفاده از فرمول زیر درصد بازدارندگی غلظتها مختلف نانوذرات نقره از تولید آنزیم لیپاز محاسبه شد (۲۷).

درصد بازدارندگی = قطر رسوبات اطراف شاهد - قطر رسوبات اطراف نمونه / قطر رسوبات اطراف شاهد \* ۱۰۰  
تولید لاکاز توسط *R. solani* در حضور غلظتها مختلف عصاره باکتری: نحوه آماده‌سازی قارچ برای این مرحله از آزمایشها بروش (۵) انجام گرفت. پس از گذشت هفت روز از کشت قارچ در محیط زاپک، مایع ۲۰۰ میکرولیتر از محیط مایع برداشته، با سرعت ۵۰۰۰ دور در دقیقه بمدت ۱۰ دقیقه سانتریفیوژ شد. پنجهای میکرولیتر از

نانوذرات نقره با استفاده از آب مقطر استریل، با pH=۷ در لوله‌های استریل با حجم ۵۰ میلی‌لیتر انجام شد. روش کار (۲۷) بدین صورت بود، که در هر یک از چاهکهای NB میکروپلیت، ۸۰ میکرولیتر محیط کشت استریل (Nutrient Broth) ریخته شد و سپس ۴۰ میکرولیتر از غلظتها مختلف محلول نانوذرات نقره به چاهکهای مورد نظر اضافه و در مرحله آخر نیز ۸۰ میکرولیتر از سوسپانسیون باکتری با جذب، ۰/۵ برای رسیدن به حجم نهایی ۲۰۰ میکرولیتر به چاهکها اضافه شدند سپس میکروپلیت بمدت ۲۴ ساعت در دمای ۲۸ درجه نگهداری شد. پس از ۲۴ ساعت، جذب هر یک از چاهکها با استفاده از دستگاه الیزا ریدر و در طول موج ۶۰۰ نانومتر اندازه-گیری شد (۲۷).

**ستجش MBC (حداقل غلظت باکتری کشی) نانوذرات نقره روی *P. fluorescens UTPF5*** : پس از آماده‌سازی محیط کشت NA (Nutrient Agar) حاوی غلظتها ۳، ۵، ۷، ۱۰، ۱۵، ۲۰، ۲۵، ۳۰، ۳۵، ۴۰ و ۴۵ میکرولیتر بر لیتر از ذرات نانونقره، از کشت ۲۴ ساعت باکتری بر روی محیط NA یک لوپ به لوله حاوی ده سی سی آب مقطر استریل منتقل شد و بمدت پنج دقیقه ورتسکس شد، جذب آنها با استفاده از دستگاه اسپکتروفوتومتر روی ۰/۵ تنظیم، سپس سری رقت هفتم از باکتری تهیه شد. از سری رقت هفتم، ۱۰۰ میکرولیتر روی محیط پخش شد. سپس نمونه بمدت ۲۴ ساعت در دمای ۲۸ درجه نگهداری شدند (۲۷). رشد کلینیها پس از ۴۰ ساعت شمارش شد.

**بررسی اثر نانوذرات نقره بر تشکیل بیوفیلم جدایه باکتریابی *P. fluorescens UTPF5*** : آزمون بروش میکروتیترپلیت انجام شد. از کشت ۲۴ ساعت باکتری روی محیط NA بمیزان یک لوپ داخل ظروف ارلن حاوی ۵۰ سی سی محیط کشت TSB (Tryptic Soy Broth) منتقل شد و نمونه‌ها بمدت ۲۴ ساعت در شیکر انکوباتور با دمای ۲۸ درجه و ۱۳۵ دور در دقیقه نگهداری شدند. در

بررسی اثر عصاره کشت سوسپانسیون سلولی باکتری و ترکیبات فرار UTPf5 روی تفریخ تخم *M. javanica*: با استفاده از روش صدیقی و همکاران (۳۰)، مقدار تخم تفریخ شده محاسبه شد، همچنین روش صدیقی و شوکت (۲۸)، برای اندازه‌گیری تأثیر عصاره باکتری در مقدار تفریخ تخم نماتد استفاده شد. در مورد ترکیبات فرار از روش فرناندو و همکاران (۷) با کمی تغییرات استفاده شد که باکتری در ظروف پتری دو قسمتی کشت داده، درب آن با پارافیلم بسته شد بعد از ۲۴ ساعت ۵۰ عدد تخم نماتد بسمت دیگر پتری اضافه شد، درب ظروف پتری با پارافیلم محکم شد و بعد از ۷۲ ساعت بررسی صورت گرفت.

بررسی اثر عصاره کشت و سوسپانسیون باکتری و ترکیبات فرار UTPf5 روی مرگ و میر لاروهای سن دوم *M. javanica*: طبق روش صدیقی و شوکت (۲۸) با مقداری تغییرات، به منظور تعیین خصوصیت نماتندکشی سویه باکتریایی، یک میلی‌لیتر از سوسپانسیون لاروهای تازه تفریخ شده (۳۰ تا ۴۰ لارو در هر میلی‌لیتر) با دو میلی‌لیتر از عصاره کشت باکتری به چاهکهای پلیت انتقال داده شد. عصاره کشت باکتری با درصدهای مختلف ۲۵، ۵۰، ۷۵ و ۱۰۰ نیز روی لاروها بکاربرده برد شد و مقدار مرگ و میر محاسبه شد. برای تعیین تغییر مرفولوژیکی لارو سن دوم بعد از ۴۸ ساعت در معرض عصاره قرار گرفتن از چشمی عکاسی استفاده شد. ترکیبات فرار نیز بهمان روش قبلی (۷) اندازه‌گیری شد و بعد از ۲۴ و ۴۸ ساعت تعداد لاروهای مرده محاسبه شد.

تعیین تحرک و جلب لاروهای سن دو نماتد با عصاره باکتری و سوسپانسیون باکتری: به منظور بررسی حرکت نماتدها از محیط آب آگار یک درصد استفاده شد. به این ترتیب که در وسط هر پتری محتوی آب آگار یک چاهک به قطر نیم میلی‌متر ایجاد شد که درون هر چاهک عصاره باکتری با رقتهاي ۲۵، ۵۰، ۷۵ و ۱۰۰ درصد و همچنین سوسپانسیون  $^{10} \times 10^8$  CFU/ml (CFU/ml) باکتری ریخته شده و در

مایع رویی به داخل ویال انتقال داده شد. در مرحله بعد با در نظر گرفتن تعداد نمونه‌ها و اینکه هر نمونه نیاز به ۵۰ میکرولیتر از مخلوط بافر سوکسینات سدیم ۲۵ میلی‌مolar با اسیدیته پنج و ABTS پنج میلی‌مولاار دارد و نیز با توجه به وزن مولکولی این دو ماده اقدام به تهیه این مخلوط شد. سپس ۵۰ میکرولیتر از آن بهر یک از نمونه‌ها اضافه و پس از آن با استفاده از ۹۰۰ میلی‌لیتر آب مقطر، حجم نمونه‌ها به یک میلی‌لیتر رسید. بدین ترتیب نمونه‌ها برای اندازه-گیری توسط اسپکتروفتومتر آماده شدند. پیش از اندازه-گیری نمونه‌ها بمدت ۳۰ دقیقه داخل انکوباتور در دمای ۲۵ نگهداری شدند و پس از آن میزان نمونه‌ها در طول موج ۴۲۰ نانومتر توسط دستگاه اندازه-گیری شد. سپس درصد بازدارندگی از تولید آنزیم لاکاز توسط غلظتها مختلف نانوذرات نقره با استفاده از فرمول زیر محاسبه شد (۵):

$$\text{درصد بازدارندگی} = \frac{\text{غلظت لاکاز در شاهد}}{\text{غلظت لاکاز در نمونه}} \times 100$$

افزودن غلظتها م مختلف عصاره باکتری به محیط‌های کشت: *R. solani* - عصاره باکتری به سه نسبت حجم به حجم ۱۵، ۵ و ۲۵ درصد به کشت‌های ۴۸ ساعته قارچ در محیط مایع زاپک اضافه شد و بمدت هفت روز در انکوباتور با دمای ۲۸ درجه سانتی گراد در تاریکی و بدون تکان دادن نگهداری شدند. در نهایت ۱۵۰ میکرولیتر از هر ۵۰ تیمار در ۵۰۰۰ دور بمدت ۱۰ دقیقه سانتریفیوژ و میکرولیتر از مایع رویی برای ارزیابی میزان فعالیت لاکاز استفاده شد (۵).

تأثیر شرایط محیطی در القای لاکاز توسط *R. solani* در مجاورت با عصاره باکتری یا کشت همزمان با باکتری: فعالیت لاکاز در جایه AG4 و باکتریایی UTPf5 و غلظت عصاره ۱۵ درصد محیط کشت زاپک  $1/5$  میلی‌لیتر عصاره در ۱۰ میلی‌لیتر محیط کشت) مورد استفاده قرار گرفت.

**کترول *P. fluorescens UTPF5* توسط *M. javanica*** در شرایط گلخانه‌ای: در آزمایش‌های گلخانه‌ای از چهار روش برای تیمار بذور استفاده شد که شامل، تیمار بذر با باکتری، تیمار نشاها با باکتری، ریختن سوسپانسیون  $1/8 \times 10^8$  باکتری و عصاره باکتری در خاک بود. چهار هفته بعد از کاشت بذور تیمار شده با باکتری و یک هفته بعد از نشاء و کاربرد سوسپانسیون و عصاره باکتری، تخم و لارو نماتد بمقدار ۶۰۰۰ عدد مخلوط تخم و لارو در اطراف ریشه‌های گوجه‌فرنگی به صورت ایجاد سه گودال با میله شیشه‌ای و ریختن سوسپانسیون تخم و لارو به کار رفت. ۶۰ روز بعد از مایه‌کوبی نماتد، تمام گیاهان از ریشه به طور کامل درآمده و زیر شیر آب شسته شد، شاخه‌ها از ریشه‌ها جدا شد، درصد گلدهی و میوه در تیمار و شاهد محاسبه شد. وزن‌تر و خشک ریشه و ساقه و طول آنها اندازه‌گیری شد. قبل از خشک کردن ریشه‌ها با استفاده از بیناکولر تعداد گالهای تولید شده بر روی تمام سیستم ریشه‌ای شمارش شد.

**تعیین شاخصهای بیماری:** با استفاده از دو مقیاس شاخص گال بروش هوی و جانسن (۱۰) تعداد گال در کل سیستم ریشه‌ای محاسبه و درصد شاخص گال تعیین شد. مقدار کل تخمها در ریشه با استفاده از روش استخراج تخم و شمارش آنها محاسبه شد.

**اندازه‌گیری کلروفیل:** این اندازه‌گیری بر مبنای روش آرنون (۲) است. سپس با دستگاه الیزا ریدر مقدار جذب عصاره استخراج شده در طول موجه‌ای ۶۴۵ نانومتر، ۶۶۳ نانومتر، ۴۷۰ نانومتر، ۴۸۰ نانومتر و ۵۱۰ نانومتر قرائت شد.

با استفاده از روابط زیر مقدار کلروفیل  $a$ ، کلروفیل  $b$  کلروفیل کل و کاروتینوئید محاسبه شد.

$$\text{گرم کلروفیل } a \text{ در هر گرم برگ} = \frac{W}{1000} \times V / [A_{663} - (2.69 \times A_{645})]$$

اطراف این چاهک به فاصله یک سانتیمتر از حاشیه پتری، چهار لارو سن ۲ نماتد قرار داده شد؛ بعد از یک تا دو ساعت حرکت نماتدها بسمت چاهک (+) و بسمت خلاف جهت چاهک یا حاشیه پتری (-) اندازه‌گیری شد. در ظروف شاهد بجای عصاره باکتری، آب به چاهکها اضافه شد (۲۴)، بررسی حرکت نماتدها با قرار دادن پتریها در نور با زاویه ۴۵ درجه و همچنین در زیر میکروسکوپ صورت گرفت (۳).

**استخراج تخم و لارو نماتد:** برای استخراج تخم و به دست آوردن لارو سن دوم از روش هوی و بارکر (۱۱) استفاده شد. تخمها استخراج شده در پتری حاوی آب قرار گرفته و در ۲۵ درجه سانتی گراد نگهداری شد و لاروها به طور روزانه جمع‌آوری شدند.

**روش مایه‌کوبی نماتد:** با یک میله شیشه‌ای در فاصله یک سانتیمتری طوقه گیاه سوراخی به عمق دو تا سه سانتیمتر در خاک ایجاد و به آرامی سوسپانسیون حاوی مخلوط تخم و لارو بمقدار ۶۵۰۰ عدد را طبق روش صدیقی و شوکت (۲۹) وارد این سوراخها کرده و دهانه آنها با خاک پر شد. همچنین مقدار نفوذ نماتد در حالتی که بذر با باکتری تیمار شده بود نیز بررسی شد.

**تعیین مقدار نفوذ نماتد به ریشه:** یک هفته بعد از تلقیح به طور کامل ریشه‌ها را بیرون آورده و به منظور مشاهده لارو درون بافت ریشه رنگ‌آمیزی شدند. ریشه‌های آلوده حاوی نماتد بعد از شستشو با آب، بمدت یک دقیقه در لاکتوفلن اسیدفوشین درحال جوش قرار گرفتند، سپس بلافالصله ریشه‌ها خارج شد و بعد از شستشو در زیر جریان آرام آب، ریشه‌ها را در لاکتوفلن تنها بمدت ۴۸ ساعت قرار داده تا رنگ از بافت ریشه‌ها حذف شود. تعداد لارو نفوذ کرده به ریشه شمارش شدند. برای انجام این رنگ‌آمیزی از روش اسیدفوشین لاکتوفلن استفاده شد که بافت‌های حاوی نماتد را قرمز می‌کند.

بازی بوده و قادرند قطعه‌ای بطول ۷۴۵ جفت باز را تکثیر کنند (۲۲). ردیف بازهای آغازگرها به صورت زیر است:

Phl2a (forward) ۵'-GAG GAC GTC GAA  
GAC CAC CA -3'

Phl2b (reverse) ۵'- ACC GCA GCA TCG  
TGT ATG AG -3'

آغازگرهای phl2a و phl2b ساخت شرکت MWG Biotech کشور آلمان است که دمای ذوب آنها بترتیب ۵۹/۴ و ۶۱/۴ درجه سانتی گراد است. باکتری روی محیط KB کشت داده و در دمای ۲۷ درجه سانتی گراد بمدت ۴۸ ساعت نگهداری شد.

تخریب سلولهای باکتری: به منظور تخریب سلولها مطابق روش زیر (۳۳) استفاده شد.

**مخلوط واکنش PCR:** تکثیر در ۲۰ میکرولیتر مخلوط واکنش انجام شد (جدول ۱) (۳۳).

جدول ۱- مقادیر حجمی هر یک از مواد به کار رفته در ترکیب مخلوط واکنش PCR با آغازگرهای phl2a و phl2b

حجم در واکنش (میکرولیتر)	مواد به کار رفته در واکنش
۹	آب دو بار تقطیر استریل بافر ۱۰xPCR
۲	کلرید منزین (MgCl <sub>2</sub> ) (۵۰ میلی مول)
۰/۸	دی‌متیل سولفونکسید (DMSO) (۵٪)
۱	آلبومین سرم گاوی (۲۰ Bovine Serum Albumin=BSA mg/ml)
۰/۵	مخلوط دی نوکلئوزید تری فسفات (dNTPs) (۱۰ میلی مول)
۰/۸	آغازگر phl2a (۱۰ پیکومول)
۰/۸	آغازگر phl2b (۱۰ پیکومول)
۰/۳	آنزیم Smar Taq (۵ واحد در هر میکرولیتر U/μl)
۴	سلول متلاشی شده (cell lysate)
۲۰	حجم کل

تخریب شده به ازای هر جدایه در هر لوله ۰/۲ میلی لیتری مخصوص PCR ریخته شده و سپس بهر لوله ۱۶ میکرولیتر از مخلوط PCR اضافه شد. به منظور اطمینان از صحت آزمایش، در هر آزمایش از سویه CHA0 که دارای

$$[(22.9 \times A_{645}) - (4.69 \times A_{663})] \times V / 1000 \times W = \text{میلی-}$$

گرم کلروفیل b در هر گرم برگ تر

$$[(20.2 \times A_{645}) + (8.02 \times A_{663})] \times V / 1000 \times W = \text{میلی-}$$

گرم کلروفیل کل در هر گرم برگ تر

$$7.6 \times (A480) - 14.9 \times (A510) \times V / 1000 \times W = \text{میلی گرم}$$

کارو-تونئید در هر گرم برگ تر

$$A \text{ مقدار جذب در طول موج مورد نظر} , V \text{ حجم نهایی}$$

استون ۸۰ درصد بر حسب میلی لیتر و W اندازه برگ تازه بر

حسب گرم است.

ردیابی ژنهای *phlA* و *phlD* و *hcnAB* واکنش زنجیره-

ای پلیمراز (PCR): از آغازگرهای اختصاصی برای ردیابی

دو ژن مهم در سنتز دی استیل فلورو-گلوسینول به نامهای

*phl2a* و *phlA* بشرح زیر استفاده شد. آغازگرهای *phl2b* و

که برای تکثیر ژن *phlD* طراحی شده‌اند ۲۰ جفت

جدول ۱- مقادیر حجمی هر یک از مواد به کار رفته در ترکیب مخلوط واکنش PCR با آغازگرهای phl2a و phl2b

مواد به کار رفته در واکنش

آب دو بار تقطیر استریل بافر ۱۰xPCR

کلرید منزین (MgCl<sub>2</sub>) (۵۰ میلی مول)

دی‌متیل سولفونکسید (DMSO) (۵٪)

آلبومین سرم گاوی (۲۰ Bovine Serum Albumin=BSA mg/ml)

مخلوط دی نوکلئوزید تری فسفات (dNTPs) (۱۰ میلی مول)

آغازگر phl2a (۱۰ پیکومول)

آغازگر phl2b (۱۰ پیکومول)

آنزیم Smar Taq (۵ واحد در هر میکرولیتر U/μl)

سلول متلاشی شده (cell lysate)

حجم کل

مواد آورده شده در جدول ۱ بجز سلولهای تخریب شده برتریبی که نوشته شده در یک لوله ۱/۵ میلی لیتری استریل ریخته شده و بخوبی مخلوط شد. سپس مخلوط بمدت چند ثانیه با دور پایین (۴۰۰۰ دور) سانتریفیوژ شد. سلولهای

phlA-1r (reverse) 5'- GAT GCT GTT CTT  
GTC CGA GC-3'

این آغازگرها ساخت شرکت MWG Biotech کشور آلمان و دمای ذوب آنها  $59/4$  درجه سانتی گراد است. ابتدا یک لوپ از کلنی کشت دو روزه باکتری برداشته، در  $500$  میکرولیتر از محیط مایع KB داخل لوله‌های  $1/5$  میلی‌لیتری کشت شد. سپس نمونه‌ها بمدت  $14\text{--}16$  ساعت (فاز لگاریتمی) روی شیکر قرار گرفتند ( $23$ ).

**تخریب سلولهای باکتری:** استخراج DNA به صورت مستقیم با تخریب سلولهای باکتری صورت گرفت. نتایج تخریب سلولی با استخراج DNA یکسان بوده است ( $23$ ). به منظور تخریب سلولها،  $5$  میکرولیتر از سوسپانسیون سلولی را با  $95$  میکرولیتر بافر تخریب در یک لوله  $0/2$  میکرولیتری مخلوط کرده، سپس بمدت  $10$  دقیقه در دمای  $99$  درجه سانتی گراد داخل دستگاه ترموسایکلر حرارت داده شد. بافر تخریب همانند بافر ذکر شده در مورد ریدیابی ژن *phlD* است.

**مخلوط واکنش PCR:** تکثیر در  $20$  میکرولیتر مخلوط واکنش که مقادیر حجمی آن در جدول  $2$  آمده است، انجام گرفت ( $23$ ).

این ژن بود به عنوان شاهد مثبت و از بافر تخریب به عنوان شاهد منفی استفاده شد. لازم است تمام مراحل تهیه واکنش PCR روی یخ یا در جای خنک انجام گیرد.

**برنامه حرارتی PCR :** درب لوله‌های فوق ( $0/2$  میلی‌لیتری) بخوبی بسته شد و بعد از یک سانتریفیوژ کوتاه و با دور پایین در داخل دستگاه ترموسایکلر قرار گرفت، سپس برنامه سیکل حرارتی PCR (در  $30$  چرخه) با  $5$  درجه افزایش در دمای اتصال آغازگر بشرح زیر انجام گرفت ( $33$ ).

- $94$  درجه،  $2$  دقیقه (واسرشه سازی اولیه)،  $94$  درجه،  $30$  ثانیه (واسرشه سازی ثانویه)،  $65$  درجه،  $30$  ثانیه (اتصال آغازگر با رشته DNA)،  $72$  درجه،  $1$  دقیقه (بسط آغازگر)،  $72$  درجه،  $10$  دقیقه (بسط نهایی)

**انجام PCR با آغازگرهای phlA-1f و phlA-1f :** این آغازگرها که برای تکثیر ژن *phlA* طراحی شده‌اند  $20$  جفت بازی بوده و قادرند قطعه‌ای بطول  $418$  جفت باز را تکثیر کنند ( $23$ ). ردیف بازهای آغازگرها به صورت زیر است.

phlA-1f (forward) 5'- TCA GAT CGA AGC  
CCT GTA CC-3'

جدول ۲- مقادیر حجمی هر یک از مواد به کار رفته در ترکیب مخلوط واکنش PCR با آغازگرهای *phlA-1f* و *phlA-1f*

مواد به کار رفته در واکنش	حجم در واکنش(میکرولیتر)
آب دو بار تقطیر استریل بافر $10\times$ PCR	$9/3$
کلرید منیزیم ( $MgCl_2$ ) ( $50$ میلی‌مول)	$2$
دی متیل سولفونکسید ( $DMSO$ ) $\%5$	$1$
مخلوط دی نوکلئوزید تری فسفات (dNTPs) (۱۰ میلی‌مول)	$1$
آغازگر <i>phlA-1f</i> ( $100$ پیکومول)	$0/8$
آغازگر <i>phlA-1r</i> ( $100$ پیکومول)	$0/8$
آنزیم Smar Taq ( $5$ واحد در هر میکرولیتر $5\text{ }\mu\text{l}$ )	$0/3$
سلول متلایشی شده (cell lysate)	$4$
حجم کل	$20$

به منظور اطمینان از صحت آزمایش، در هر آزمایش از سویه CHA0 که دارای این ژن بود به عنوان شاهد مثبت و از بافر تخریب به عنوان شاهد منفی استفاده شد.

**برنامه حرارتی PCR:** برنامه حرارتی برای واکنش PCR و تکثیر قطعات DNA با کمی تغییر در روش رزوینیکو (۲۳) به صورت زیر تنظیم شد. این برنامه در ۲۵ چرخه انجام گرفت.

۹۴ درجه، ۵ دقیقه (واسرشته سازی اولیه)، ۹۴ درجه، ۳۰ ثانیه (واسرشته سازی ثانویه)، ۶۲ درجه، ۳۰ ثانیه (اتصال آغازگر با رشته DNA)، ۷۲ درجه، ۴۵ ثانیه (بسط آغازگر)، ۷۲ درجه، ۵ دقیقه (بسط نهایی).

برای مشاهده محصول PCR، الکتروفورز با ژل آکارز ۱ درصد انجام گرفت. جهت رنگ آمیزی باندهای DNA، ابتدا محلول اتیدیوم بروماید با غาصلت ۱۰ میلی گرم در میلی لیتر تهییه شد. برای مشاهده محصول و ثبت تصویر آن، از دستگاه Gel-Documentation استفاده شد.

انجام PCR با آغازگرهای PM2 و PM7-26R برای ردیابی ژن **hcNAB** : بعد از تخریب سلولها PCR با استفاده از آغازگر مستقیم ۳۱ نوکلئوتیدی PM2 و آغازگر معکوس ۲۶ نوکلئوتیدی PM7-26R انجام گردید. این آغازگرها با استفاده از توالی توافقی hcn بین استرین PAO<sub>1</sub> (کد دستری AF053760) و CHA0 (کد دستری AF208523 *Pseudomonas aeruginosa*) طراحی شده بودند (۳۱).

PS16F TGGCTCAGATTGAAACGCTGGCGG	(Forward)
PS16r GATCCAGCCGCAGGTTCCCCCTAC	(Reverse)

مخلوط PCR شامل اجزای زیر بود (حجم نهایی با آب مقطر سترون به ۳۵ میکرولیتر رسانده شد).

10X PCR buffer	3.5 μl
%5 Bovine serum albumine	1.8 μl
%5 Dimethyl sulphoxide	1.8 μl
dNTPs (2mM)	1.8 μl
PS16f / PS16r(Primers)	0.7 μl
Taq DNA Polymerase (5 U/ml)	0.5 μl
DNA lysate	5 μl

برنامه تکثیر ۱۶S rRNA با استفاده از آغازگرهای PS16f و PS16r (۸ دقیقه (واسرشته سازی اولیه)، ۲/۵ ۹۴ °C :)

برنامه حرارتی PCR: برنامه حرارتی برای واکنش PCR و تکثیر قطعات DNA با کمی تغییر در روش رزوینیکو (۲۳) به صورت زیر تنظیم شد. این برنامه در ۲۵ چرخه انجام گرفت.

۹۴ درجه، ۵ دقیقه (واسرشته سازی اولیه)، ۹۴ درجه، ۳۰ ثانیه (واسرشته سازی ثانویه)، ۶۲ درجه، ۳۰ ثانیه (اتصال آغازگر با رشته DNA)، ۷۲ درجه، ۴۵ ثانیه (بسط آغازگر)، ۷۲ درجه، ۵ دقیقه (بسط نهایی).

برای مشاهده محصول PCR، الکتروفورز با ژل آکارز ۱ درصد انجام گرفت. جهت رنگ آمیزی باندهای DNA، ابتدا محلول اتیدیوم بروماید با غاصلت ۱۰ میلی گرم در میلی لیتر تهییه شد. برای مشاهده محصول و ثبت تصویر آن، از دستگاه Gel-Documentation استفاده شد.

انجام PCR با آغازگرهای PM2 و PM7-26R برای ردیابی ژن **hcNAB** : بعد از تخریب سلولها PCR با استفاده از آغازگر مستقیم ۳۱ نوکلئوتیدی PM2 و آغازگر معکوس ۲۶ نوکلئوتیدی PM7-26R انجام گردید. این آغازگرها با استفاده از توالی توافقی hcn بین استرین PAO<sub>1</sub> (کد دستری AF053760) و CHA0 (کد دستری AF208523 *Pseudomonas aeruginosa*) طراحی شده بودند (۳۱).

PM2 TGCAGGCATGGCGTGTGCCATTGCTGCCTGG	(Forward)
PM7-26R CCGCTCTTGACTGCAATTGCAGGCC	(Reverse)

PCR در ۱۲ میکرولیتر شامل چهار میکرولیتر از سوسپانسیون باکتری لایز شده، بافر PCR با مشخصات buffer، Amersham pharmacia، UPPsala، Sweden) FLuka، Buchs، SG، (۱× PCR بoven سرم آلبومین (۱)،

نشاندار می‌باشد، جهت حذف این اجزا، خالص‌سازی به وسیله ستونهای DNA grade G-50 و SepHadex G-50 انجام شد. تعیین توالی با استفاده از دستگاه 3100 genetic Analyser ABI Prism® انجام شد. توالیهای به دست آمده توسط نرمافزار Sequencher package تحت سیستم مکیتاش (Macintosh) ویرایش گردیدند و برای مقایسه، از برنامه Molecular Evolutionary Genetics Analysis استفاده شد.

## نتایج

**تعیین MIC نانوذرات نقره بر UTPf5** - با افزایش غلظت نانوذرات نقره، کاهش معنی‌داری در میزان جذب، در طول موج ۶۰۰ نانومتر نسبت به شاهد در اکثر موارد مشاهده شده است. بیشترین اثر منفی بر میزان جذب باکتری در غلظت هشت میکرولیتر بر لیتر بوده است. نکته جالب توجه این است که غلظت ۰/۲۵ میکرولیتر بر لیتر سبب افزایش معنی‌داری در مقایسه با شاهد، در میزان جذب MIC شده، در نهایت نتایج حاصله نشان دادند که نانوذرات نقره در مورد این باکتری ۰/۵ میکرولیتر بر لیتر است.

**تعیین MBC نانوذرات نقره بر UTPF5** - همزمان با روند افزایش غلظت نانوذرات نقره، افزایش معنی‌داری نیز در میزان درصد بازدارندگی از تشکیل کلئی این جدایه مشاهده شد. کمترین غلظت که سبب کاهش در تعداد کلئیهای باکتریانی شد سه میکرولیتر بر لیتر بود، بیشترین اثر این غلظت در بازدارندگی از تشکیل کلئی در باکتری UTPF5، ۷۰/۶۳ درصد بود. نتایج نشان دادند که از رشد این جدایه در غلظتها م مختلف اعمال شده ۱۰۰ درصد جلوگیری شد.

اثر غلظتها م مختلف نانوذرات نقره بر تشکیل بیوفیلم در جدایه UTPF5- غلظت هشت میکرولیتر بر لیتر بیشترین تأثیر را در جلوگیری از تشکیل بیوفیلم در این جدایه

۹۴ °C، ۳۰ ثانیه (واسرسته سازی ثانویه)، ۶۰ °C، ۱ دقیقه (اتصال آغازگر با رشتہ DNA)، ۷۲ °C، ۱ دقیقه (بسط آغازگر)، ۷۲ °C، ۱۰ دقیقه (بسط نهایی)

پس از انجام واکنش PCR، محصول بر روی ژل آکارز ۱/۵ درصد در ۱۳۰ ولت بمدت ۲ ساعت انجام شد و باند موردنظر در هر نمونه بریده و برای بررسیهای بعدی نگهداری شد.

خالص‌سازی محصول واکنش زنجیره ای پلیمراز: برای خالص کردن محصول واکنش زنجیره ای پلیمراز از کیت Wizard SV Gel and PCR Clean-Up System kit of Promega (Madison, WI) استفاده گردید. باندهای بریده شده درون لوله های میکروسانتریفیوژ قرار داده شد و وزن قطعه ژل حاوی باند تعیین شد. به ازای هر ۱۰ میلی گرم قطعه ژل حاوی باند ۱۰ میکرولیتر محلول باند شونده به غشا اضافه شد، پس از سانتریفیوژ، در دمای ۵۵ درجه سانتی گراد در حمام آبی قرار گرفت و هر دو دقیقه یکبار ورتکس شد تا قطعه ژل کاملاً حل شود.

واکنش زنجیره ای پلیمراز جهت تعیین توالی: بدین جهت از کیت تعیین توالی Terminator V3-0 Cycle Sequencing Kit استفاده گردید. آغازگرها استفاده شده PS16f و PS16r بودند. مخلوط واکنش تعیین توالی شامل اجزای زیر بود:

Big dye <sup>(R)</sup> V3.1	0-8 $\mu$ l
Primer	1 $\mu$
Big dye sequencing buffer(5X)	2 $\mu$
Purified PCR Product	4.2 $\mu$ l
ddH <sub>2</sub> O to	10 $\mu$ l

برنامه تکثیر 16s rRNA با آغازگرهای PS16f و PS16r: ۹۵ درجه، ۱۰ دقیقه (واسرسته سازی اولیه)، ۵۰ درجه، ۵ دقیقه (۹۹ سیکل)، ۶۰ درجه، ۴ دقیقه

تعیین توالی نمونه‌ها: محصول حاصل از واکنش زنجیره‌ای پلیمراز جهت تعیین توالی دارای اجزای اضافی، از جمله مواد مصرف نشده واکنش، بخصوص نوکلئوتیدهای

تولید آنزیم لاکاز در حضور عصاره باکتری از غلظت ۱۵٪ و جایه AG4 استفاده شد.

تأثیر شرایط محیطی در القای لاکاز توسط قارچ در مجاورت با عصاره باکتری یا کشت همزمان با باکتری: اثر pH در بررسی اثر pH در القای آنزیم لاکاز در جایه AG4 در کشت همزمان با باکتری UTPF5، بیشترین میزان pH تولید آنزیم لاکاز در pH = ۷/۵ اتفاق افتاد. نتایج تأثیر pH در کشت قارچ در مجاورت با عصاره آنتاگونیست، افزایش قابل توجهی در القای لاکاز در اکثر موارد نشان داد. فقط در pH ۷ و ۷/۵ در حضور عصاره باکتری میزان تولید آنزیم کاهش چشمگیری داشته و دارای اختلاف معنی‌دار با بقیه موارد بود.

اثر دما: دمای ۳۰ درجه سانتی گراد کمترین تأثیر را در تولید آنزیم لاکاز توسط قارچ در کنار باکتری داشت. وزن خشک قارچ در دمای ۱۵ درجه سانتی گراد و در حضور باکتری بیشترین بود که در مقایسه با شاهد اختلاف معنی‌دار نبود. در محیط کشت حاوی عصاره باکتری در دمای ۲۵ و ۳۰ درجه سانتی گراد، عصاره میزان فعالیت آنزیم لاکاز را نسبت به شاهد افزایش دادند.

تأثیر عصاره کشت و سوسپانسیون باکتری در تفريخ تخم نماتد: در تیمارهای عصاره باکتری بعد از ۲۴ ساعت هیچ کدام از تخمها تفريخ نشدند. در حالی که در شاهد بین ۸-۲۰ درصد و در سوسپانسیون بین ۸-۱۳ درصد تخمها بعد از ۲۴ ساعت تفريخ شدند. بین تیمار سوسپانسیون باکتری و شاهد بعد از ۲۴ ساعت اختلاف معنی‌داری وجود ندارد ولی بعد از ۴۸ ساعت اين دو نيز با هم اختلاف معنی‌دار داشته و کاهش درصد تفريخ تخم در تیمار عصاره کشت نسبت به شاهد در ۲۴ و ۴۸ ساعت ۱۰ و ۳۵ درصد برآورد شد و سوسپانسیون باکتری نيز بعد از ۴۸ ساعت کاهش ۲۵ درصدی نسبت به شاهد نشان داد.

باکتریایی داشت اما نمی‌توان ادعا کرد که افزایش غلظت، سبب ایجاد روند افزایشی یا کاهشی مشخص و منظمی در تشکیل بیوفیلم شده است. افزایش غلظت نانوذرات نقره بر جایه‌های مختلف تأثیرات متفاوت و معنی‌داری بر تشکیل بیوفیلم داشته است. در مورد باکتری UTPF5 روند افزایش در غلظت نانوذرات از ۰/۲۵ تا ۲ میکرولیتر بر لیتر سبب افزایش تشکیل بیوفیلم و از این غلظت به بعد روند کاهش در تشکیل بیوفیلم مشاهده شده است. در يك ديد کلى غلظت دو میکرولیتر بر لیتر سبب افزایش تشکیل بیوفیلم در جایه UTPF5 شده است.

اثر غلظتهاي مختلف نانوذرات نقره در تولید آنزیم لیپاز توسط جایه باکتری UTPF5 در جدول تجزیه واریانس اثر مقابل باکتری و غلظتهاي مختلف نانوذرات نقره، در سطح ۰/۰۱ درصد معنی‌دار شده است. با افزایش غلظت نانوذرات نقره روند افزایشی در بازدارندگی از تولید آنزیم لیپاز مشاهده شده است که در تمامی موارد اختلاف معنی‌داری با شاهد وجود دارد. بیشترین اثر بازدارندگی غلظت هشت میکرولیتر بر لیتر بوده و میزان درصد بازدارندگی در بیشترین حالت در UTPF5 ۹۷/۴۳ درصد بوده است. کمترین اثر منفی نانوذرات در جایه باکتری در غلظت ۰/۵ میکرولیتر بر لیتر بوده است.

تأثیر غلظتهاي مختلف عصاره باکتری بر تولید لاکاز و وزن خشک توده میسلیوم R. solani AG4 افزودن عصاره باکتری به محیط کشت جایه قارچی، بر تولید آنزیم لاکاز توسط آنها تأثیر داشت و میزان تولید آنزیم در سه غلظت منتخب عصاره باکتری تفاوت معنی‌داری در سطح احتمال ۰/۰۱ درصد نشان داد. همچنین در میزان تولید آنزیم توسط جایه قارچی نيز تفاوت معنی‌داری دیده شد. غلظت ۱۵ درصد عصاره باکتری در جایه AG4 باعث تحریک تولید آنزیم بیشترین قابل قبولی شد. بدین منظور برای آزمایشات تأثیر مقابل اثر عوامل غیر زنده بر

گذاشتند. همچنین تعداد زیادی از لاروها در غلظت ۱۰۰ از عصاره باکتری بعد از اندکی حرکت منفی مرده بودند.

بررسی مقدار نفوذ لارو سن دو نماتد به ریشه‌های گیاه گوجه فرنگی: این آزمایش به صورت تیمار بذر با باکتری و استفاده از سوسپانسیون باکتری در خاک انجام گرفت. هر دو این تیمارها به طور معنی‌داری با شاهد اختلاف دارند، در حالی که خود این دو تیمار با هم اختلاف معنی‌دار ندارند. سوسپانسیون باکتری و تیمار بذر بترتیب باعث کاهش ۶۲ و ۵۵ درصدی نفوذ لارو به ریشه شدند.

*P. fluorescens* M. javanica توسط باکتری UTPF5 در شرایط گلخانه‌ای، شاخصهای رشد: تیمارهای مختلف باکتری اثرات معنی‌دار متفاوتی در ویژگیهای رشدی گیاه گوجه‌فرنگی، در صورت حضور یا عدم حضور نماتد نشان دادند (جدول ۳).

مقدار کلروفیل: در بررسی سنجش کلروفیل، مقدار کلروفیل *a*، کلروفیل *b*، کلروفیل کل و کاروتینویید اندازه‌گیری شد و نتایج معنی‌داری بین تیمارهای مختلف مشاهده شد (شکل ۱).

شاخصهای بیماری، شاخص گال: تیمار بذر با باکتری و نماتد به طور معنی‌داری از نظر شاخص گال با شاهد و کاربرد سوسپانسیون باکتری روی نشاء بهمراه نماتد اختلاف داشتند. ولی با کاربرد عصاره و سوسپانسیون باکتری در خاک با نماتد اختلاف نداشتند و هر سه این تیمارها کاهش شاخص گال نسبت به شاهد را نشان دادند. کمترین شاخص گال مربوط به ضدغونی بذر با باکتری، سوسپانسیون و عصاره باکتری در خاک بود.

تعداد گال روی سیستم ریشه‌ای: نتایج نشان داد تعداد گال در کل ریشه گیاه گوجه‌فرنگی در تیمار بذر با باکتری نسبت به شاهد و دیگر تیمارها اختلاف معنی‌دار داشته و کاهش ۵۵ درصدی را باعث می‌شود. دیگر تیمارها تفاوت معنی‌داری نسبت به شاهد نشان ندادند ولی باعث کاهش مقدار گال روی ریشه شدند. بترتیب در تیمار بذر با

تأثیر ترکیبات فرار باکتری در تغیرخ تخم نماتد: بعد از ۷۲ ساعت تخمها نماتد که در معرض ترکیبات فرار قرار گرفتند هیچگدام تغیرخ نشدن در حالی که در شاهد ۸۰ درصد تخمها تبدیل به لارو شدند.

تأثیر عصاره کشت و سوسپانسیون باکتری روی مرگ و میر لاروهای سن دوم: از میان غلظتها م مختلف به کار برده شده از عصاره کشت باکتری، درصدهای ۵۰ و ۷۵ و ۱۰۰ بدون اختلاف معنی‌دار با هم بوده ولی عصاره ۱۰۰ درصد با عصاره ۲۵ درصد دارای اختلاف است و هر چهار غلظت با سوسپانسیون باکتری و شاهد دارای اختلاف معنی‌دار هستند. غلظتها م مختلف عصاره کشت باکتری بمقدار ۳۴–۵۳ درصد باعث افزایش مرگ و میر لاروها در شرایط آزمایشگاه نسبت به شاهد شدند. بعد از ۴۸ ساعت تمام لاروهایی که با عصاره کشت تیمار شده بودند مردند. همچنین لاروهایی که با غلظتها م مختلف عصاره تیمار شده بودند بعد از مرگ دچار تغییر شکل شده و بحالت دوکی شکل درآمدند.

تأثیر ترکیبات فرار باکتری در مرگ و میر لارو نماتد: ترکیبات فرار باکتری باعث افزایش ۸۵ درصدی مرگ و میر لارو نماتد نسبت به شاهد شده و اختلاف معنی‌دار در سطح پنج درصد نشان دادند.

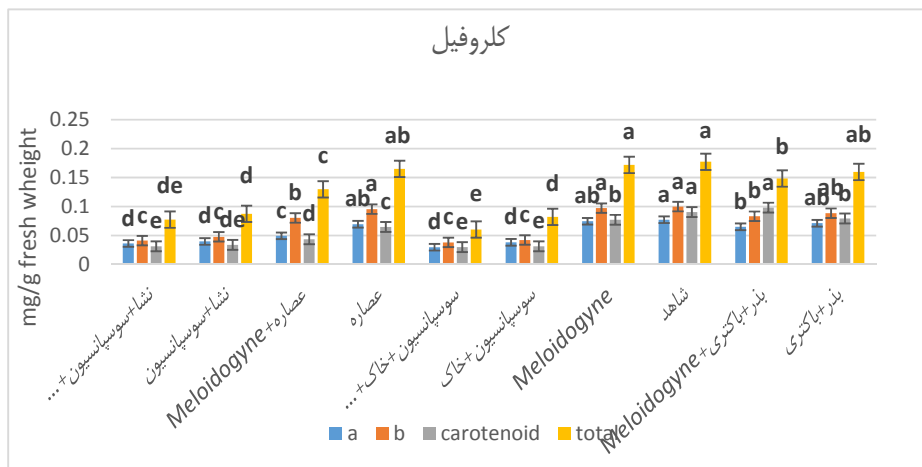
بررسی تحرک و جلب لاروهای سن دو با عصاره و سوسپانسیون باکتری: سه غلظت ۵۰، ۷۵ و ۱۰۰ با هم اختلاف نداشتند و باعث حرکت منفی نماتد بسمت حاشیه پتری شدند. در حالی که در شاهد و سوسپانسیون حرکت منفی دیده نشد و لاروهای درون پتری بسمت مرکز پتری حرکت کرده و حرکات مارپیچی و بسیار زیادی را در روی محیط کشت بجا گذاشتند. در تیمارهای عصاره باکتری با غلظت ۵۰، ۷۵ و ۱۰۰، لاروها علاوه بر حرکت منفی بسمت حاشیه پتری، دچار کاهش تحرک شده و حرکات بسیار ریز و کندی در روی محیط کشت از خود باقی

گال مشاهده شد.

باکتری، کاربرد عصاره باکتری، سوسپانسیون باکتری و کاربرد سوسپانسیون روی نشاء بیشترین کاهش در تعداد

جدول ۳- شاخصهای رشدی گیاه گوجه‌فرنگی تحت تأثیر باکتری *P. fluorescens* UTPF5 در کنترل نماتد *M. javanica*

تیمار	وزن تر (g) ریشه	وزن تر ساقه (g)	وزن خشک ریشه (g)	وزن خشک ساقه (g)	طول ساقه (cm)	طول ریشه (cm)	طول گل (cm)	تعداد میوه	تعداد گل
<i>Meloidogyne</i> + نتماس‌سوسپانسیون	۳۸/۳۷۵a	۸۵/۳۸b	۱/۶۷۵cd	۱/۱۸/۱bc	۷۶/۲۵ab	۲۹/۰abc	۱۳/۵	۱/۵	
نتماس‌سوسپانسیون	۲۵/۲۳۲a	۹۰/۸۸b	۲/۶۵a	۱۲/۴۵ab	۸۵a	۳۲/۷۵ab	۱۲/۵	۰/۵	
<i>Meloidogyne</i> + عصاره	۳۲/۱۴۳a	۱۰۰/۱۵ab	۱/۵۶۲۵cd	۱۲/۷۸ab	۶۸/۷۵de	۳۰abc	۱۱/۲۵	۰/۲۵	
عصاره	۳۸/۶۹۵a	۸۶/۱۳b	۲/۵۶۲۵ab	۱۴/۹۵۳ab	۷۵ab	۳۹/۷۸a	۱۵/۲۵	۰/۲۵	
<i>Meloidogyne</i> + سوسپانسیون+خاک	۳۶/۴۴۵a	۱۲۲/۴۸a	۱/۹۷۷cd	۱۶/۰۷۸a	۷۷/۵ab	۳۷/۵bcd	۱۹/۷۵	۰/۲۵	
سوسپانسیون+خاک	۲۹/۶۶۸a	۸۳/۳۱b	۲/۷۷۵bc	۱۲/۸۷۵ab	۸۴ab	۲۸/۴۵... ۱۳/۵	۰/۷۵		
<i>Meloidogyne</i>	۳۹/۴۷۸a	۹۳/۵۳b	۲/۲۵۷cd	۱۴/۸۳۴ab	۳۷/۷۵ab	۲۵/۵cd	۱۷/۵	*	
شاهد	۳۷/۵۶a	۷۷/۹۵bc	۲/۹۵۵bc	۱۱/۶۸ab	۶۸/۴۵bc	۳۹abcde	۱۱/۷۵	۰/۴۵	
<i>Meloidogyne</i> + بذر+باکتری	۱۴/۴۳ab	۵۵/۰۵cd	۱/۵۵۵cd	۸/۸۹۳dc	۸۰ab	۲۲/۷۵de	۱۱	۰/۲۵	
بذر+باکتری	۱۲/۷۵ab	۵۰/۲۵d	-	۱/۳۷۷cd	۷/۷۹d	۵۶/۷۵c	۲۰/۲۵e	۶/۵	۰/۷۵



شکل ۱- سنجش کلروفیل، مقدار کلروفیل a، کلروفیل b کاروتینوئید در تیمارهای مختلف

واکنش زنجیره‌ای پلیمراز (PCR): ردیابی ژن *phlD* به وسیله PCR : با استفاده از تکنیک PCR و دو آغازگر تکثیر شد. جدایه UTPF5 دارای ژن *phlD* بود که با سویه CHA0 که واجد این ژن بود مقایسه شد. جهت تخمین اندازه فرآورده‌های تکثیر شده در PCR، از نشانگر ژنومی یک کیلو جفت بازی (gene ruler 1kbp DNA ladder) استفاده شد.

تعداد تخم روی سیستم ریشه‌ای: تیمارهای ضدغوفنی بذر و استفاده از عصاره باکتری اختلاف معنی‌داری در کاهش تعداد کل تخم نماتد در روی سیستم ریشه‌ای نسبت به شاهد داشتند. استفاده از سوسپانسیون باکتری چه در خاک و چه روی نشاء باعث کاهش تعداد تخم نماتد بمقدار قابل توجهی شد ولی با شاهد که نماتد بتهابی بود اختلاف معنی‌داری نشان نداد. ضدغوفنی بذر و عصاره بترتیب کاهش ۷۱ و ۴۲ درصدی در تعداد تخم نسبت به شاهد نشان دادند.

ضدباکتریایی قوی‌تری بر روی باکتریهای گرم منفی نسبت به باکتریهای گرم مثبت از خود نشان داده‌اند و این گونه بیان کردند که این مسئله ممکن است مربوط به نازک‌تر بودن لایه پپتیدوگلیکان باشد. به طوری که در این تحقیق نیز مشاهده شد با بررسی گروههای آماری چهار جدایه و مقایسه روند کاهش جمعیت، کمترین اثر منفی نانوذرات در بین جدایه‌ها روی باکتری گرم مثبت باسیلوس و بیشترین آن در مورد سه جدایه گرم منفی دیگر اعمال شده است. نکته جالب توجه این است که جمعیت باکتریها در سه جدایه UTPf5 و UTPf68 و *Bacillus subtilis* در غلظت ۰/۲۵ میکرولیتر بر لیتر در مقایسه با نمونه شاهد افزایش یافته است.

نانوذرات نقره دارای سمیت زیادی در غلاظتهاي پایین بر روی باکتریهای گرم مثبت و گرم منفی هستند در استفاده از این مواد حساسیت و دقت بیشتری به کار رود که البته با توجه به نتایج حاصل از مرحله گلخانه در کنترل پاتوزن توسط نانوذرات نقره و عدم کنترل این قارچ با وجود استفاده از روش‌های مختلف، این احتمال را می‌توان در نظر گرفت که همانند قارچ، این ترکیب روی باکتریهای مفید ریزوسفر نیز بی‌تأثیر باشد. که البته نتایج حاصل از تحقیقات (۲۶)، نشان داده است که حضور نانوذرات در خاک تأثیر معنی‌داری بر CFU میکروارگانیسم‌ها و همچنین بر کل فعالیت متابولیکی جمعیت موجود در خاک نداشته است.

به منظور تعیین MIC نانوذرات نقره در جدایه باکتریایی *Xanthomonas*، *B. subtilis*، UTPf68، UTPf5 و *campesstris pv malvacearum* بیشترین اثر منفی بر میزان جذب باکتریها در غلاظت هشت میکرولیتر بر لیتر بوده و کمترین و بیشترین اثر منفی در این غلاظت بترتیب مربوط به جدایه‌های *B. subtilis* و UTPf5 بود. در تعیین MBC نانوذرات نقره در این چهار جدایه در شرایط آزمایشگاهی، کمترین غلاظت که سبب کاهش در

ردیابی ژن *phIA* به وسیله PCR با استفاده از تکنیک PCR و دو آغازگر phIA-1r و phIA-1f قطعه‌ای از DNA بطول ۴۱۸ جفت باز تکثیر شد. جدایه UTPf5 دارای ژن *phIA* بود که با سویه CHA0 که واجد این ژن بود، مقایسه شد. جهت تخمین اندازه فرآورده‌های تکثیر شده در gene ruler ژنومی ۱۰۰ جفت بازی (100bp DNA ladder) استفاده شد.

ردیابی ژن *hcnAB* توسط واکنش زنجیره ای پلی مراز(PCR): قطعه DNA با طول تقریبی ۵۷۰ جفت باز از دسته ژنی مسئول سنتز سیانید هیدردرژن (hcnABC)، با استفاده از تکنیک PCR و توسط دو آغازگر PM7 و PM2 ۲۶R تکثیر شد. این قطعه DNA شامل ۱۳۶ جفت باز از ژن *hcnA* (که دارای ۳۱۲ نوکلئوتید می‌باشد) و ۴۳۴ ژن *hcnB* (که دارای ۱۴۰۴ نوکلئوتید می‌باشد) است. نتیجه این آزمایش نشان داد سویه UTPf5 واجد ژن *hcnAB* هست.

بررسی مولکولی سویه بر اساس 16S rRNA، تکثیر DNA توسط PCR: نتایج حاصل از تکثیر DNA ژنومی با استفاده از دو آغازگر PS16Sf و PS16Sr بر روی ژل آگاروز قابل رویت بود که تکثیر بخشی از ژنوم بطول تقریبی ۱۵۰۰ جفت باز را در سویه UTPf5 نشان داد.

تعیین توالی نمونه‌ها و آنالیز توالی‌ها: در این پژوهش 16S rRNA در سویه UTPf5 تعیین توالی شد و با توالی CHA0 در بانک ژن مقایسه شد. طول توالی نوکلئوتیدی UTPf5 در این سویه حدود ۱۴۵۰ نوکلئوتید بود. سویه 16S rRNA حدود ۹۸ درصد با سویه CHA0 در توالی شباهت داشتند.

## بحث

اثر نانوذرات نقره بر باکتریها تا حد زیادی به غلاظتها مورد استفاده و نیز جنس دیواره باکتریایی وابسته است. در تحقیق انجام شده توسط (۱۲)، محلول یونهای نقره فعالیت

تولید آنزیم کاهش پیدا نکرد بلکه میزان تولید آن در روز سوم به طور معنی‌داری بیش از شاهد شد. پس حضور سلولهای باکتری در روزهای ۶ و ۱۰ و ۱۵ تولید آنزیم را کاهش داده و بنظر می‌رسد حضور سلول باکتری در کشت‌های قارچ کلا تولید آنزیم را کاهش داده و می‌تواند مانع برای بروز مقاومت در قارچ نسبت به این دو سویه باشد.

در این تحقیق نشان داده شد که تیمار بذر با باکتری سودوموناس فلورسنت سویه UTPf5 باعث تغییر ترشحات ریشه گیاه گوجه‌فرنگی و دفع لاروها از این ریشه‌ها و جذب بسمت ریشه‌های بدون باکتری و شاهد شدن و ریشه‌های تیمار شده با باکتری قطورتر شدن. همچنین عصاره کشت باکتری باعث کاهش قدرت حرکت نماتد در محیط و دور شدن آن از محیط غذایی و ریشه می‌شود. در مورد تأثیر ریزوباکتریها در الگوی حرکت نماتدها تحقیقات محدودی انجام گرفته است؛ جهت‌گیری CHA19 *Caenorhabditis elegans* بسمت سویه غیرسمی سودوموناس فلورسنت بخوبی جهت‌گیری سویه CHA0 بود (۱۸).

سویه UTPf5 تولید سیدروفور و آنتی‌بیوتیک کرده و باعث افزایش رشد گیاه گوجه‌فرنگی می‌شود. خیلی از گونه‌های سودوموناس باعث افزایش رشد گیاه شده (PGPR) و تولید سیدروفورهای کلاته‌کننده آهن، آنتی-بیوتیکها یا سیانید هیدروژن می‌کنند و این ترکیبات در کاهش میکروارگانیسم‌های پاتوژن و مضر کاربرد دارند و یک محیط مناسب برای رشد ریشه را فراهم می‌کنند (۱۷). سوسپانسیون و عصاره باکتری از تفريخ تخم نماتد جلوگیری کرده و درصد مرگ و میر لارو سن دوم را نیز افزایش داد. ولی مقدار جلوگیری از تفريخ تخم در عصاره باکتری ۳۵ درصد و افزایش مرگ و میر لارو در آن ۵۳-۳۴ بر روی لاروها می‌تواند بر اثر متابولیت آنتی میکروبی

کلینیهای باکتریایی شد سه میکرولیتر بر لیتر بود، که البته میزان تأثیر آن روی جدایه‌های مختلف، متفاوت و بیشترین اثر این غلظت در بازدارندگی از تشکیل کلین در باکتریهای UTPf5 و UTPf68 *B. subtilis* *X. campestris* از راست به چپ با درصدهای ۸۳/۷۶، ۷۸/۰۵، ۷۰/۶۳ و ۶۶/۱۷ بود. غلظت هشت میکرو لیتر بر لیتر بیشترین تأثیر را در جلوگیری از تشکیل بیوفیلم در این چهار جدایه باکتری داشته است اما نمی‌توان بیان کرد که افزایش غلظت، سبب ایجاد روند افزایشی یا کاهشی مشخص و منظمی در تشکیل بیوفیلم شده است. در بررسی اثر غلظت نانوذرات نقره در تولید آنزیم لپیاز در جدایه باکتری UTPf5 و UTPf68 در شرایط آزمایشگاه، بیشترین اثر بازدارندگی در هر دو جدایه مربوط به غلظت هشت میکرولیتر بر لیتر و بیشترین میزان درصد بازدارندگی بترتیب در مورد دو جدایه ۹۷/۴۳ و ۱۰۰ درصد بوده است. غلظتها مختلف نانوذرات نقره در تولید آنزیم لاکاز در سطح ۰/۰۱ درصد معنی‌دار شده است که بیشترین بازدارندگی در تولید آنزیم در غلظت یک میکرولیتر بر لیتر اعمال شده است.

نتایج نشان داد که اثر باکتری‌کشی نانوذرات نقره هم به غلظت این ذرات و هم به جمعیت اولیه باکتریها وابسته است. تولید انواع اکسیژن فعال و همچنین آسیب به دیواره سلول باکتریایی دو مکانیزم فعالیت ضدباکتریایی نانوذرات نقره هستند.

یک روش احتمالی برای کاهش تولید لاکاز در *R. solani* در مقابل با سویه‌های آنتاگونیست و در نتیجه احتمال موفقیت بیشتر بیوکنترل در برابر مقاومت قارچ، تغییر شرایط محیطی و استفاده از محدودکننده‌های تولید آنزیم است (۶). در کشت همزمان قارچ با هرکدام از دو سویه آنتاگونیست در روزهای ۶ و ۱۰ و ۱۵ مقدار تولید آنزیم به طور معنی‌داری نسبت به شاهد کاهش یافت. در کشت قارچ در مجاورت عصاره سویه‌های آنتاگونیست نه تنها

کاهش ۵۵ و ۶۲ درصدی نفوذ به ریشه گوجه‌فرنگی شد. که این نتایج می‌تواند بدلیل افزایش رشد گیاه و مقاومت آن، همچنین کاهش جلب نماتدها بسته ریشه و حتی دور شدن آن‌ها بدلیل تغییر عصاره ریشه و کاهش تحرک لاروها ایجاد شده باشد.

سویه UTPf5 باکتری سودوموناس فلورسنت در تیمار پاشش سوسپانسیون روی خاک تأثیر زیادی در شاخصهای رشدی گیاه داشت. در حالی که تیمارهای بذر و عصاره شاخصهای بیماری را بشدت کاهش دادند. در نتیجه فرموله کردن این باکتری در کنترل نماتد گره ریشه گوجه‌فرنگی بسیار مناسب است.

نانوذرات نقره دارای سمیت زیادی در غلظتهای پایین بر روی باکتریهای گرم مثبت و گرم منفی هستند در استفاده از این مواد حساسیت و دقت بیشتری به کار رود که البته با توجه به نتایج حاصل از مرحله گلخانه در کنترل پاتوژن توسط نانوذرات نقره و عدم کنترل این قارچ با وجود استفاده از روش‌های مختلف، این احتمال را می‌توان در نظر گرفت که همانند قارچ، این ترکیب روی باکتریهای مفید ریزوسفر نیز بی‌تأثیر باشد. البته نتایج حاصل از تحقیقات شاه و همکاران (۲۶)، نشان داده است که حضور نانوذرات در خاک تأثیر معنی‌داری بر CFU میکروگانیسم‌ها و همچنین بر کل فعالیت متابولیکی جمعیت موجود در خاک نداشته است.

به منظور تعیین MIC نانوذرات نقره در جدایه باکتریایی *X. campestris* pv *B. subtilis*, UTPf68, UTPf5 در شرایط آزمایشگاهی بیشترین اثر منفی بر میزان جذب باکتریها در غلظت هشت میکرولیتر بر لیتر بوده و کمترین و بیشترین اثر منفی در این غلظت بترتیب مربوط به جدایه‌های *B. subtilis* و UTPf5 بود. در تعیین MBC نانوذرات نقره در این چهار جدایه در شرایط آزمایشگاهی، کمترین غلظت که سبب کاهش در کلینهای باکتریایی شد سه میکرولیتر بر لیتر بود، که البته میزان تأثیر

DAPG باشد. متابولیت آنتی میکروبی ۲ و ۴ دی استیل فلوروگلوسینول و پیولوتئورین به توانایی سودوموناس فلورسنت سویه CHA0 برای کنترل بیماری‌های گیاهان که توسط پاتوژن‌های خاکزد کمک می‌کنند.

بر اساس تحقیقات پیکی‌تار (۲۱) نشان داده شد که باکتری *P. fluorescens* CHA0 فعالیت ضدحشره‌ای داشته و توکسین حشره‌کشی به نام fit برای فعالیت حشره‌کشی این باکتری یافت شد. در نتیجه وجود این توکسین باعث تغییر شکل لاروهای حشرات و ملانیزه شدن آن‌ها شد. که این نتیجه را می‌توان با دوکی شدن لاروهای سن دو نماتد *M. javanica* که در معرض عصاره باکتری در این تحقیق قرار گرفتند مقایسه کرد. در این تحقیق لاروها بعد از تیمار با عصاره باکتری تغییر شکل داده و دوکی شکل شدند، که علت این حالت می‌تواند توکسین fit باشد. در حالی که زمانی که سیدروفور خالص به کار رفت لاروها مردند ولی تغییر شکل در آن‌ها مشاهده نشد.

بر اساس نتایج گلخانه‌ای نیز عصاره کشت باکتری سودوموناس فلورسنت UTPf5 نقش بسیار مهمی در کاهش تعداد گال در سیستم ریشه‌ای داشته و مقدار گال را پایین آورده و علاوه بر آن با افزایش وزن تر و خشک و طول ریشه باعث مقاومت گیاه نیز شد. همچنین عصاره کشت باکتری تعداد تخم نماتد *M. javanica* بر روی کل سیستم ریشه‌ای گیاه را بمقدار ۴۲ درصد کاهش داد. همچنین نتایج نشان داد کاربرد باکتری به صورت پوشش دهنده بذر باعث کمترین تعداد گال روی ریشه و کاهش ۵۵ درصدی نسبت به شاهد و کمترین تعداد تخم نماتد بر روی سیستم کل ریشه و کاهش ۷۱ درصدی نسبت به شاهد شد و پایین‌ترین مقدار شاخص گال را دربرگرفت. بعد از این دو تیمار، کاربرد سوسپانسیون باکتری به صورت پاشش روی خاک سهم بسزایی در کاهش شاخصهای بیماری داشت. در این تحقیق آزمایش‌های گلخانه‌ای نشان داد دو تیمار بذر و پاشش سوسپانسیون در خاک بترتیب

غلظتهاي مختلف نانوذرات نقره در توليد آنزيم لاكاز در سطح ۰/۰۱ درصد معندي دار شده است که بيشترین بازدارندگي در توليد آنزيم در غلظت يك ميكروليتر بر ليتر اعمال شده است.

نتایج نشان داد که اثر باكتريکشي نانوذرات نقره هم به غلظت اين ذرات و هم به جمعيت اواليه باكتريها وابسته است. توليد انواع اكسيزن فعال و همچنین آسيب به ديواره سلول باكتريابي دو مكанизم فعالیت ضدباكتريابي نانوذرات نقره هستند.

بطور کلى اين سويه UTPF5 *P. fluorescens* اثرات بيوكتيرلى بسيار خوبی نشان داد و ويزگيهای مولکولی آن نيز از طریق ردیابی زنهای مهم مورد بررسی قرار گرفت.

آن روی جدائیهای مختلف، متفاوت و بیشترین اثر این غلظت در بازدارندگی از تشکیل کلنی در باكتريهای X. *UTPf68* و *UTPf5* *B. subtilis* *campestris* راست به چپ با درصدهای ۸۳/۷۶، ۷۸/۰۵، ۷۰/۶۳ و ۶۶/۱۷ بود. غلظت هشت ميكرو ليتر بر ليتر بيشترین تأثير را در جلوگيري از تشکيل بيوفيلم در اين چهار جدائی باكتري داشته است اما نمي توان بيان کرد که افزايش غلظت، سبب ايجاد روند افزایشي يا کاهشي مشخص و منظمي در تشکيل بيوفيلم شده است. در بررسی اثر غلظت نانوذرات نقره در توليد آنزيم لبياز در جدائی باكتري UTPF5 و UTPf68 در شرایط آزمایشگاه، بيشترین اثر بازدارندگي در هر دو جدائی مربوط به غلظت هشت ميكروليتر بر ليتر و بيشترین ميزان درصد بازدارندگي بترتيب در مورد دو جدائی ۹۷/۴۳ و ۱۰۰ درصد بوده است.

## منابع

- Alcals L. A. 2007. Characterization and efficacy of bacterial strains for biological control of soil borne diseases caused by *Phytophthora cactorum* and *Meloidogyne javanica* on rosaceous plants. Doctoral thesis. Universitate de Girona, 152.
- Arnon, D. 1994. Copper enzymes in isolated chloroplasts: Polyphenoloxidase in *Beta vulgaris*. Plant Physiology 24: 1-10.
- Bagheri, N., Ahmadzadeh, M and Heydari, R. 2014. Effects of *Pseudomonas fluorescens* strain UTPF5 on the mobility, mortality and hatching of root-knot nematode *Meloidogyne javanica*. Archives of Phytopathology and Plant Protection. 47(6): 744 – 752.
- Bollag, J and Leonowicz, A. 1984. Comparative studies of extracellular fungal laccase. Applied and Environmental Microbiology, 48: 849-854.
- Bora, P. 2003. Production of laccase by phytopatogenic fungus *Rhizoctonia solani*. 165.
- Crow, J.D and Olsson, S. 2001. Induction of laccase activity in *Rhizoctonia solani* by antagonistic *Pseudomonas fluorescens* strains and a range of chemical treatments. Applied and Environmental Microbiology, 67: 2088-2094.
- Fernando, W. G. D., Ramarathnama, R., Krishnamoorthy, A. S and Savchuka, S. C. 2005. Identification and use of potential bacterial organic antifungal volatiles in biocontrol. Soil Biology and Biochemistry 37: 955–964.
- Frapolli, M., Defago, G and Moenne – Loccoz, M. 2007. Multilocus sequence analysis of biocontrol fluorescent *Pseudomonas* spp. producing the antifungal compound 2, 4-diacetylphloroglucinol. Environment Microbiology. 9: 1939 – 1955.
- Fravel, D.R. 2005. Commercialization and implementation of biocontrol Annual Review of Phytopathology, 43: 337-359.
- Hussey, R.S and Jansen, G.J.W. 2002. Root-knot nematodes: *Meloidogyne* species. 43-70. in: Starr, J.L., Cook, R and Bridge, J. (Eds.). Plant resistance to parasitic nematodes. CAB International, Wallingford.
- Hussey, R. S and Barker, K. R. 1973. A comparison of methods of collecting inocula of *Meloidogyne* spp., including a new technique. Plant Disease Report. 57: 1025-1028.
- Jung, W.K., Koo, H.C., Kim, K.W., Shin, S., Kim, S.H and Park, Y.H. 2008. Antibacterial activity and mechanism of action of the silver ion in *staphylococcus aureus* and *Escherichia*

- coli. Applied and Environment Microbiology. 74: 2171-2178.
- 13- Liu, H., Pan, X., Zhang, X and J. Wang. 1995. Experiments on *Bacillus* strain producing antagonistic protein. Chines Journal of Biology. 11:160-164.
- 14- Loper, J.E and Lindow, S.E. 1997. Reporter gene systems useful in evaluating *in situ* gene expression by soil and plant associated bacteria in: Manual of environmental microbiology. Hurst, C.J., Knudsen, G.R., Mc Inervy, M.J., Stetzenbach, L.D and Walter, M.V. (eds). ASM press, Washington DC. 482-492.
- 15- Lutz, M.P., Wenger, S., Maurhofer, M., Defago, G and Duffy, B. 2004. Signaling between bacterial and fungal biocontrol agents in a strain mixture. FEMS Microbiology Ecology. 48: 447-455.
- 16- Maurhofer, M., Bachler, E., Notz, R., Marthez, V and Keel, C. 2004. Cross talk between 2, 4-diacetylphloroglucinol-producing biocontrol pseudomonads on wheat rhizosphere. Applied Microbiology Ecology. 70: 1990-1998.
- 17- Nasima, I. A., Siddiqui, I. A., Shaukat, S. S and Zaki, M. J. 2002. Nematicidal activity of some strains of *Pseudomonas* spp. Soil Biology and Biochemistry 34: 1051-1058.
- 18- Neidig, N., Rüdiger J. P., Scheu, S and Jousset, A. 2011. Secondary metabolites of *Pseudomonas fluorescens* CHA0 drive complexnon-trophicinteractions with bacterivorous nematodes. Microbilogy 61: 853-859.
- 19- Notz, R. 2002. Biotic factors affecting 2, 4-diacetylphloroglucinol biosynthesis in the model strain *Pseudomonas fluorescens* CHA0. Ph.D thesis. Swiss Federal Institute of Technology, Zurich.
- 20- Notz, R., Maurhofer, M., schnider keel, U., Duffy, B., Haas, D and Defago, G. 2001. Biotic factors affecting expression of the 2, 4 diacetylphloroglucinol biosynthesis gene phlA in *Pseudomonas flourescens* biocontrol strain CHA0 in the rhizosphere. Phytopathology. 91: 873-881.
- 21- Péchy-Tarr, M., Bruck, D. J., Maurhofer, M., Fischer, E., Vogne, Ch., Henkels, M. D., Donahue, K. M., Grunder, J., Loper, J. E and Keel, Ch. 2008. Molecular analysis of a novel gene cluster encoding an insect toxin in plant-associated strains of *Pseudomonas fluorescens*. Environmental Microbiology 10(9): 2368-2386.
- 22- Raaijmakers, J. M., Weller, D.M and Thomashow, L. S. 1997. Frequency of antibiotic - producing *Pseudomonas* sp. In natural environments. Applied Environment Microbiology. 63: 881 – 887.
- 23- Rezzonico, F., Moënne-Loccoz, Y and Defago, G. 2003. Effect of stress on the ability of a phlA -based quantitative competitive PCR assay to monitor biocontrol strain *Pseudomonas fluorescens* CHA0. Applied Environment Microbiology. 69: 686-690.
- 24- Riga, E and Webster, J.M. 1992. Use of sex pheromones in the taxonomic differentiation of *bursaphelenchus* spp. (Nematoda), pathogens of pine trees. Nematologica. 38: 133-145.
- 25- Savoie, J.M., Mata, G and Mamoun, M. 2001. variability in brown line formation and extracellular laccase production during interaction between white rot basidiomycetes and *Trichoderma harzianum* biotype Th2. Mycologia. 93: 243-248.
- 26- Shah, V and Belozerova, I. 2008. Influence of metal nanoparticles on the soil microbial community and germination of Lettuce seeds. Water Air Soil Pollut.
- 27- Shahrokh, S and Emtiazi, G. 2009. Toxicity and unusual biological behavior of nanosilver on gram positive and negative bacteria assayed by Microtiter-plate. European Journal of biology Science. 1: 28-31.
- 28- Siddiqui, I. A and Shaukat, S. S. 2003. Suppression of root-knot disease by *Pseudomonas fluorescens* CHA0 in tomato: importance of bacterial secondary metabolite, 2, 4-diacetylphloroglucinol. Soil Biology and Biochemistry 35: 1615-1623.
- 29- Siddiqui, I. A and Shaukat, S. S. 2004. Systemic resistance in tomato induced by biocontrol bacteria against the root-knot nematode *Meloidogyne javanica* is independent of salicylic acid production. Journal of phytopathology. 152: 48-54.
- 30- Siddiqui, I. A., Zaki, A., Qureshi, A and Akhtar, M. S. 2009. Biocontrol of root-knot nematode *Meloidogyne incognita* by *Pseudomonas* and *Bacillus* isolates on *Pisum sativum*. Archives of Phytopathology and Plantprotection 42(12): 1154 -1164.
- 31- Svercel, M., Duffy, B and Defago, G. 2007. PCR amplification of hydrogen cyanide biosynthetic locus hcnAB in *Pseudomonas* spp. Journal Methods. 70: 209- 213.

- 32- Wahleithner, J.A., Xu, F., Brown, K.M., Brown, S.H., Golightly, E.J., Halkier, T., Kauppinen, S., Pederson, A and Schneider, P. 1996. The identification and characterization of for laccase from the plant pathogenic fungus *Rhizoctonia solani*. Curr Genet. 29: 395-403.
- 33- Wang, C., Ramette, A., Pungasamarwong, P., Natsch, A., Moenne Loccoz, Y and De'fago, G. 2001. Cosmopolitan distribution of phlD – containing dicotyledonous crop-associated biocontrol pseudomonads of worldwide origin. FEMS Microbiology Ecology. 37: 105-116.
- 34- Zhang, H., Hong, Y.Z., Xiao, Y.Z., Yuan, J., Tu, X.M and Zhang, X.Q. 2006. Efficient production of laccase by *trametes* sp. AH28-2 in cocultivation with a *trichoderma* strain, Applied Microbiology Biotechnology. 73: 89-94.

## Assessment of molecular and biological properties of *Pseudomonas fluorescens* UTPF5 biological agent of *Meloidogyne javanica* in tomato

**Bagheri N.<sup>1</sup>, Ahmadzadeh M.<sup>1</sup>, Afsharmanesh H.<sup>2</sup> and Saberbaghban Z.<sup>1</sup>**

<sup>1</sup> Plant Protection Dept., University of Tehran, Tehran, I.R. of Iran

<sup>2</sup> Atomic Energy Organization of Iran, Tehran, I.R. of Iran

### **Abstract**

In this study, the biological and molecular features of *Pseudomonas fluorescens* UTPF5 is evaluated as an important bacterial in IRAN. Effect of silver nanoparticles, effect of bacteria on laccase and also molecular aspect of UTPF5 (detection of phlD, phlA and hcnAB genes) examined. In this research, biocontrol ability of *Pseudomonas fluorescens* UTPF5 was studied on the root knot nematode *Meloidogyne javanica* in tomato. Also inhibition of nematode pathogenicity is determined. Bacterial extract, suspension and volatile causes 35%, 25% and 85% reduction in nematode egg hatching respectively. J2 mortality induces 34-53% and 85% in effect of bacterial extract and volatile respectively, whereas suspension has no effect in j2 mortality. Biofilm formation is promoted by 0.25-2 μL silver nanoparticle. The strain UTPF5 has phlD, phlA and hcnAB genes. Culture filtrate of bacteria effected laccase enzyme significantly. Considering the disease measurement following seed treatment with the bacterium, gall index, the number of galls and all eggs in root system were considerably reduced. Biocontrol potential and plant growth promotion is described by application of the bacterium in greenhouse trials. Generally UTPF5 has good biocontrol effect and also molecular features study with detection important genes.

**Key words:** laccase, root knot nematode, silver nanoparticle